

مجله مخاطرات محیط طبیعی، سال سوم، شماره چهارم، بهار ۹۳

تاریخ دریافت مقاله: ۹۲/۰۵/۲۱

تاریخ پذیرش مقاله: ۹۳/۰۱/۲۶

ارزیابی شواهد ژئومورفولوژیک برای گودال برخوردي احتمالي زیروکي در سیستان و بلوچستان، جنوبشرق ايران

محمد رضا منصوری دانشور^۱، سمیه رضایی^۱

چکیده

با وجود مطالعات گستردگی انجام شده درباره‌ی پدیده‌های ژئومورفولوژی ایران، تا کنون بررسی گودال‌های برخوردي مورد توجه قرار نگرفته است. در این مقاله بر اساس روش‌های سنجش از دور و برداشت‌های میدانی، یک ساختار گودالی شکل در دشت سمسور در جنوب شرقی ایران مورد ارزیابی قرار گرفت که پیش از این توسط "منصوری دانشور و باقرزاده" در سال‌های ۲۰۱۱ و ۲۰۱۳ به عنوان یک گودال احتمالی حاصل از برخورد شهاب سنگی معرفی شده است. گودال زیروکی توسط "باراتوکس و همکاران" در سال ۲۰۱۲ به عنوان یک سایت دارای پتانسیل برخورد معرفی شده و در آگوست ۲۰۱۳ به عنوان تنها گودال برخوردي شهابسنگی امکان پذیر و قابل تأیید در ایران در پایگاه تخصصی ساختارهای برخوردي جهان (دانشنامه مخاطرات طبیعی دانشگاه نووسی بیرسک، روسیه) ثبت گردید. اگر این گودال به عنوان گودال برخوردي تأیید شود آنگاه اولین نمونه‌ی در ایران و سومین نمونه آن در خاورمیانه پس از "ویار" در عربستان و "جبل وقف الصوان" در اردن خواهد بود. ارزیابی گودال زیروکی با استفاده از تفسیرهای سنجش از دور ژئومورفولوژیکی و در سطوح مختلف مطالعات توپوگرافی، ژئوفیزیک، زمین‌شناسی، و پتروگرافی به انجام رسیده است. مهمترین نتایج حاصل شده از این تحقیق نشان دهنده‌ی ساختار واضح گودالی شکل با لبه‌های برآمده و توپوگرافی برجسته مرکزی می‌باشد. همچنین اطلاعات ژئوفیزیک به خوبی نشان دهنده‌ی یک بی هنجاری ثقلی منفی و دایره‌ای شکل منطبق بر گودال است که آن را از پدیده‌های آذرینی و دیگر شکل - های فرسایشی متمایز می‌سازد.

کلید واژه‌ها: ساختارهای برخوردي، ژئومورفولوژي، بي هنجاری ثقلی، شهابسنگ، گودال زیروکي

^۱-دانشجوی دکتراي اقليم شناسی در برنامه ریزی محیطی، دانشگاه سیستان و بلوچستان mrm_daneshvar2012@yahoo.com

- دانشجوی کارشناسی ارشد جغرافیا و برنامه ریزی روستایی، دانشگاه سیستان و بلوچستان s_rezayi2012@yahoo.com

مقدمه

نیروهای سازنده‌ی ژئومورفولوژی زمین همچون تکتونیک، ولکانیسم، فرسایش، آب و هوای همواره در طول دوران های زمینشناسی اثرات سطحی و نادری همچون بقایای برخوردهای شهاب سنگی را تغییر داده و یا از میان برده است. به همین دلیل است که زمین شناسان بندرت احتمال وجود گودال‌های برخوردی را می‌پذیرند (Koeberl, 2004) امروزه گودال‌های برخوردی به عنوان ساختارهای زمین‌شناسی ویژه با شکل دایره‌ای، دگر شکلی وسیع، توده‌های آذرینی، مواد معدنی کمیاب، نهشته‌های هیدروکربنی، پرتابه‌های پاشیده شده، سنگهای دگرگون شده برشیا و همچنین سیمای خاص بیولوژیک تشخیص داده می‌شوند (French and Koeberl, 2010). البته شکل ظاهری همه گودال‌های برخوردی یکسان نیست و شامل انواع فرم‌های دایره‌ای شکل، الگوهای توپوگرافی تغییر شکل یافته، شکستگی‌ها و دگرگونی‌های گسترده، بی هنجاری‌های مغناطیسی و ثقلی دایره‌ای و وجود حجم گستردۀ ای از واحدهای آذرینی می‌گردد (French and Koeberl, 2010).

شماسی و ژئومورفولوژیک مشابه با گودال‌های برخوردی می‌توانند حاصل فرایندهای شناخته شده‌ای همچون دگر شکلی تکتونیکی، بقایای گنبدهای نمکی، فوران آتش‌فشانی، برونزد توده‌های آذرینی، پدیده‌های کارستی و اثرات فرسایشی باشند (Koeberl, 2002; Langenhorst, 2002). اما مهمترین ویژگی معرف گودال‌های برخوردی شامل به دست آوردن مجموعه‌ای از اثرات ناشی از امواج تصادم بر روی زمین می‌باشد که به طور مشابهی در ساختارهای گودال‌های برخوردی قابل تشخیص است (Grieve et al, 1996). تا سال ۲۰۱۰ پایگاه داده‌های ساختارهای برخوردی مثل پایگاه تخصصی ساختارهای برخوردی جهان (دانشنامه مخاطرات طبیعی دانشگاه نووسی بیرسک، روسیه)¹، بیش از ۲۲۵۰ ساختار احتمالاً مرتبط با گودال‌های برخوردی را در ۵ سطح رد شده/قابل اعتراض (Rejected/ Disputative)، احتمالی (Doubtful)، قابل تردید (Proven/ Confirmed) برای دنیا معرفی کرده است. از این میان فقط حدود ۱۷۶ گودال برخوردی بر مبنای معیارهای دقیق سنجش از دور و مطالعات میدانی مورد پذیرش قطعی دانشمندان قرار گرفته است (Williams and Gostin, 2010). که در پایگاه ساختارهای برخوردی جهان (مرکز علوم فضا و زمینی دانشگاه نیوبرانزویک، کانادا)² معکس شده است. بررسی پیوسته پدیده‌های برخوردی امکان شناسایی سایتهاز جدید و جذابی را بویژه در مناطق زمین‌شناسی غیر کریتونیک فراهم می‌کند که پیش از این ناشناخته بوده است. توزیع جهانی گودال‌های برخوردی شکلی تصادفی ندارد. آنها غالباً در مناطق زمین‌شناسی کریتونیک مثل آمریکای شمالی، استرالیا و اسکاندیناوی، پراکنده هستند. البته تعداد کمی از ساختارهای برخوردی خارج از مناطق یاد شده وجود دارند که یا تحت اثر فعالیت‌های درونی زمین فرسایش یافته‌اند و یا در مناطق دور افتاده یا خارج از دسترس واقع شده‌اند (McCall, 2009). علاوه بر این امروزه با به کارگیری نرم افزارهایی همچون Google Earth این امکان فراهم شده تا گزارش‌های مربوط به شناسایی گودال‌های برخوردی رو به ازدیاد بگذارد، لذا با استفاده از این تکنیک به همراه روش‌های سنجش از دور می‌توان ارزیابی‌های عمومی خوبی را پیرامون ساختارهای احتمالاً برخوردی به عمل آورد (Pati and Reimold, 2007).

بر این اساس یک ساختار دایره‌ای شکل با نام زیروکی

1-<http://www.tsun.sscc.ru/nh/impact.php>

2-<http://www.unb.ca/passc/ImpactDatabase>

(Zirouki) در دشت سمسور (Samsour) استان سیستان و بلوچستان در جنوب شرق ایران شناسایی گردید که پیش از این توسط "منصوری دانشور و باقرزاده" در سال های ۲۰۱۱ و ۲۰۱۳ به ترتیب در دومین کنفرانس گودال - های برخوردی و اختر زمین شناسی کشورهای عرب (MansouriDaneshvar and Bagherzadeh, 2011) به عنوان یک گودال مجله‌ی پردازش اطلاعات علوم زمین (MansouriDaneshvar and Bagherzadeh, 2013) به عنوان یک گودال احتمالی حاصل از برخورد شهاب سنگی معرفی شده است. این گودال که توسط "باراتوکس و همکاران" هم در سال ۲۰۱۲ به عنوان یک سایت دارای پتانسیل برخورد معرفی شده (Baratoux et al, 2012) در آگوست ۲۰۱۳ به عنوان تنها گودال برخوردی شهابسنگی امکان پذیر (Probable) و قابل تأیید در ایران در پایگاه تخصصی ساختارهای برخوردی جهان (دانشنامه‌ی مخاطرات طبیعی دانشگاه نووسی بیرسک، روسیه) ثبت گردید¹. خلاصه‌ی نتایج بررسیهای صورت گرفته در مورد این گودال در طی دو سال گذشته نیز بارها در وبلاگ ژئومورفولوژی و برنامه - ریزی محیطی منعکس شده است². این گودال اگر به عنوان یک ساختار برخورد شهابسنگی مورد تأیید قطعی قرار گیرد، اولین نمونه در ایران و سومین نمونه از این دست در خاورمیانه پس از گودال وبار (Wabar) در عربستان سعودی (Holm, 1962) و گودال جبل وقف الصوان (Jebel Waqf as Suwan) در اردن هاشمی (Salameh et al, 2006) خواهد بود.

طرح مسئله

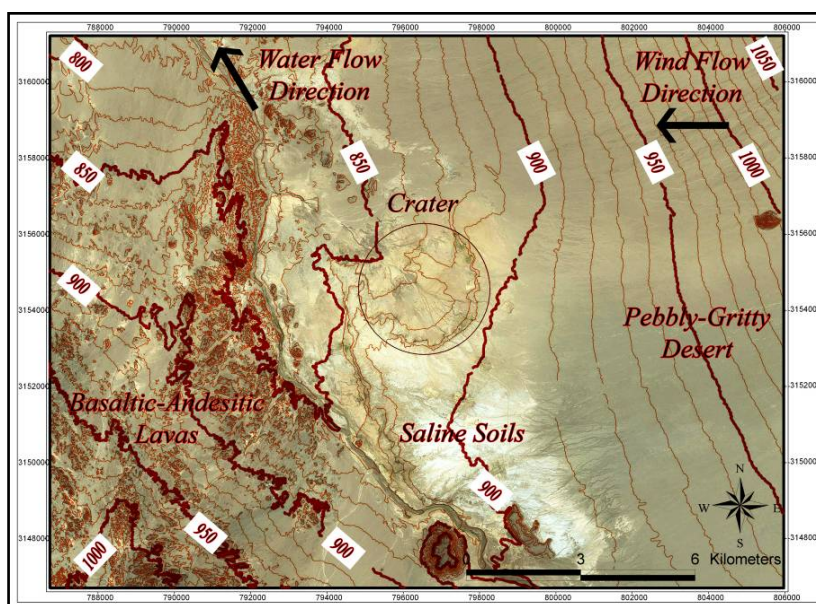
بزرگترین گودالهای برخورد شهابسنگی جهان از قبیل گودال سودباری (Sudbury) کانادا و گودال وردفورد (Vredefort) آفریقای جنوبی با میانگین قطر ۱۵۰-۲۰۰ کیلومتری به صورت اصابت‌هایی مطرح هستند که احتمالاً در دوره‌ی زمانی بین یک تا دو میلیارد سال پیش زمین را آماج خود قرار داده اند (Reimold and Gibson, 2006) به همین ترتیب گودال چیکسولوب (Chicxulub) خلیج مکزیک به قطر احتمالی دویست کیلومتر نیز ناشی از اصابت شهاب سنگی در ۶۵ میلیون سال پیش بوده که منجر به انقراض دایناسورها شده است. نمونه‌ی تیپیک گودالهای برخورد شهابسنگی عهد حاضر کواترنری به کراتر بارینگر (Barringer) واقع در آریزونای آمریکا به قطر ۱.۲ کیلومتر مربوط است که سن آن به چهل تا پنجاه هزار سال پیش بازمیگردد. معمولاً گودال‌های با قطر کمتر از چهار کیلومتر وجه فرسایش یافته کمتری دارند و علاوه بر بارینگر در آمریکا می‌توان به لونار (Lonar) در هند و ولک کریک (WolfeCreek) در استرالیا اشاره کرد. این گودال‌های شهابسنگی اکثراً در دوره‌ی زمانی حدود صد هزار سال و کمتر به وقوع پیوسته‌اند که حادث شدن برخوردهای آسمانی در این بازه‌ی زمانی به دلیل مقارن بودن با تاریخ پیدایش انسان هوموساپینس (هوشمند) اهمیت علمی بیشتری دارد. از سویی تأثیرات احتمالی قابل تحقیق اقلیمی و ژئومغناطیسی این برخوردها بویژه پیدایش اعصار یخندان، وقایع مرتبط با زلزله‌ها و شکستگیهای تکتونیکی، پیشیبینی برخی اتفاقات در ارتباط با ناهنجاریهای زمین شناسی و مدل سازی نوع برخوردها مورد توجه ویژه طبیعی دانان و زمین شناسان می‌باشد که در این زمینه می‌توان به بررسی‌های مربوط به مدل سازی زمین

شناسی برخوردهای شهابسنگی در جهان توسط "اوینسکی" در سال ۲۰۰۷ اشاره کرد (Osinski, 2007) مطالعات مربوط به شناسایی گودال‌های برخورد شهابسنگی^۱ و اثرات ژئومورفولوژیک و دگرشکلی ناشی از برخورد شهابسنگها از سری تحقیقات و پژوهش‌هایی است که به طور علمی و تدوین شده در چند دهه اخیر مورد توجه مشترک زمینشناسان و شهابسنگشناسان دنیا قرار گرفته است. در این زمینه حداقل میتوان به دو مرجع بسیار ارزشمند علمی اشاره کرد. یک مورد مربوط به کتاب "تأثیرات کاتاستروف (پدیده‌های ناگهانی)" نوشته‌ی "فرنج" در سال ۱۹۹۸ می‌باشد (French, 1998) که به تفصیل در رابطه با اثرات دگرشکلی در گودالهای برخورد شهابسنگی بر روی زمین بحث کرده است و مورد دوم مربوط به مقاله "شناسایی دقیق ساختارهای زمینی برخورد شهابسنگی" نوشته "فرنج" و "کوئبرل" در سال ۲۰۱۰ می‌باشد (French and Koeberl, 2010) که فرآیندهای میدانی در شناسایی این پدیده‌ها را تشریح می‌کند. با وجود این در ایران علیرغم سابقه مطالعات زمین شناسی و تهیه ی نقشه‌های عملیاتی پوششی زمین شناسی و توپوگرافی برای کل کشور، بحث بررسی گودالهای برخورد شهابسنگی چندان مورد توجه قرار نگرفته است. ایران عملاً بر روی کمربند فعل تکتونیسم جهانی قرار دارد و در آن شواهد ژئومورفولوژیک فراوانی از مظاہر و چشممه‌های گسلی و دهانه‌های آتشفشنایی دیده می‌شود. از این رو تا کنون عمدۀ تحقیقات و تدوین نقشه‌های بر محوریت این فرآیندها صورت گرفته است و پدیده‌های احتمالی مرتبط با شهابسنگها نیز یا نادیده انگاشته شده‌اند و یا در زمرة سایر پدیده‌های زمینشناسی طبقه بندی شده‌اند. تنها دو گزارش قدیمی و فراموش شده وجود دارند که معطوف به ساختارهای شبه برخوردهای در ایران بوده‌اند. یک مورد توسط "اسکرین" مستشار انگلیسی در سال ۱۹۳۱ به عنوان چاله احتمالاً شهابسنگی گوهرکوه (Gwar-Kuh) و به قطر ۴۵ متر در جنوب شرقی ایران معرفی گردید (Skrine, 1931)، که در مطالعات بعدی توسط "اسپینسر" بریتانیایی به کلی رد شد (Spencer, 1933) و امروزه مشخص شده که احتمالاً مربوط به یک چاله شبه کارستی (Sinkhole) بوده است. مورد دیگر نیز گزارشی درباره گودال قلعه حسنعلی (Qal'eh-Hasanali) به قطر ۱.۱ کیلومتر به همراه چهارده گودال کوچک دیگر پیرامون آن در منطقه راین استان کرمان بود که ابتدا توسط "گویکوویچ" زمین شناس یوگسلاوی در سال ۱۹۷۳ به عنوان گودال برخوردهای شناسایی گردید (Gojković, 1973) اما با مطالعات کامل تر "میلتون" آمریکایی در سال ۱۹۷۶ به عنوان دهانه‌ی آتشفشنایی (Maar) معرفی شد (Milton, 1976).

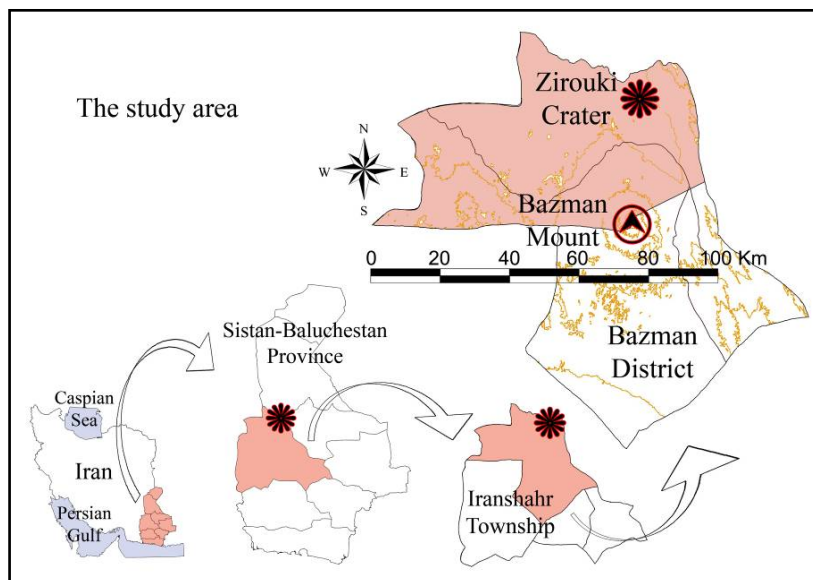
محدوده‌ی مطالعاتی

ساختار دایره‌ای شکل زیروکی در دشت سمسور استان سیستان و بلوچستان و در جنوب شرق ایران واقع شده است. این ساختار با قطر ۳۵۰۰-۳۰۰۰ متری و عمق ۳۰-۵۰ متری در مختصات جغرافیایی "۲۸°۲۸'۲۸" تا "۲۸°۲۹'۵۸" عرض شمالی و "۴۱°۰۰'۴۱" تا "۶۰°۰۰'۴۷" طول شرقی و در ارتفاع ۸۵۰ تا ۹۰۰ متری از سطح دریاهای آزاد قرار گرفته است (شکل ۱). این گودال به لحاظ تقسیمات سیاسی در غرب استان سیستان و بلوچستان و در شهرستان ایرانشهر، بخش بزمان، دهستان آب رئیس قرار دارد (شکل ۲). این محدوده بیرون از مناطق جمعیتی استان سیستان و بلوچستان قرار دارد و تنها آبادی نزدیک به آن روستای "خیرآباد" با جمعیت حدود ۱۵۰ تا

نفر در یک کیلومتری جنوب آن است. نزدیکترین شهرها به منطقه را نیز شهر نوک آباد در شرق و شهر بزمان در جنوب منطقه تشکیل میدهند که فاصله مستقیم هوایی آنها تا مرکز گودال بخوردی حدود هفتاد کیلومتر میباشد. همچنین فاصله مستقیم هوایی منطقه تا شهر خاش ۱۲۰ کیلومتر، تا شهر زاهدان ۱۴۰ کیلومتر و تا شهر ایرانشهر ۱۵۵ کیلومتر میباشد. مهمترین عوارض طبیعی پیرامون این گودال را دو تپه بازالتی به فاصله هفت کیلومتری جنوب گودال، کوه آتششان نیمه فعال بزمان در پنجاه کیلومتری جنوب منطقه و رشته ارتفاعات گسلی کهورک-نصرت آباد با روند عمومی شمالی-جنوبی در بیست کیلومتری شرق تشکیل می دهند.



شکل ۱: جایگاه گودال زیروکی بر روی تصویر ماهواره‌ای



شکل ۲: موقعیت گودال زیروکی در تقسیمات سیاسی استان سیستان و بلوچستان

این محدوده به دلیل فرسایش آبی و بادی رخ داده و پر شدن از رسوبات منطقه در نقشه های زمین شناسی با لیتوولوژی آبرفتی و رسوبی تشخیص داده شده است و لاوهای آتشفشاری و روانههای بازالتی بزمان نیز بویژه در غرب منطقه قابل مشاهده است. البته به طور خاص زون آتشفشاری غرب محدوده دارای سن میوسن است ، ولی دو تپه بازالتیاولیویندار به سن پلئیستوسن به طور منفرد در چند کیلومتری جنوبگودال چهره شاخص بیهودگرفته‌اند. مسیر دسترسی اصلی به منطقه را می توان از شهر بزمان واقع در جنوب منطقه در نظر گرفت به طوری که از میدان مرکزی شهر بزمان تا سه راهی "سمسور" حدود شصت کیلومتر راه زمینی طی می شود و سپس با ورود به محور فرعی در ضلع شمالی، مسیر پس از طی حدوداً بیست کیلومتر به دو تپه تخت بازالتی قهوهای رنگی ختم میشود که پس از آن با ادامه مسیر پیچ و خم دار شش کیلومتری به سمت شمال به لبه جنوب شرقی گودال زیروکی دسترسی حاصل می شود. همچنین عبور رودخانه فصلی با بستر سیلابی وسیع حدوداً صد متری از مجاورت غربی گودال نیز از عوارض مهم طبیعی دیگر آن به شمار می رود. از نظر اقلیمی نیز طبق داده های (WorldClim) منطقه مطالعاتی دارای بارش سالانه ۹۰ میلیمتر و دمای متوسط سالانه ۲۲ تا ۲۳ درجه سانتیگراد است (Hijmans et al, 2005) که نماینده یک اقلیم خشک با شرایط فرسایش بیابانی است.

روش تحقیق

سیمای دایره ای شکل یک گودال برخوردی بایستی الگوهای دایره ای شکل از توپوگرافی، ژئومورفولوژی، زمین شناسی و آنومالی ژئوفیزیکی را نشان دهد. در ادبیات مطالعات برخوردی در گام اول بررسی و سنجش از دور بر

مبنای تصاویر سنجنده هایی مثل MODIS¹ از ماهواره های خورشید آهنگ Terra و Aqua و یا مدل رقومی ارتفاعی DEM² بر مبنای تصاویر SRTM³ به انجام می رسد. سپس بررسی های توپوگرافیکی و زمین شناسی به انجام می رساند. با انطباق مرز پایه محدوده مطالعاتی گودال برخوردي بر روی موزائیک نقشه های توپوگرافی سازمان نقشه برداری، ملاحظه شد که محدوده ای مداخله طرح در برگه توپوگرافی ۱:۱۰۰۰۰۰ زیروکی و در برگه توپوگرافی ۱:۵۰۰۰۰ جهیل آباد به شماره ۸۰۴۶۴ قرار گرفته است. همچنین این منطقه بر روی نقشه های زمین شناسی سازمان زمین شناسی و اکتشافاتمعدنی ۱:۱۰۰۰۰۰ در برگه های زیروکی و کورین به شماره های ۸۰۴۶ و ۸۰۴۷ قابل تعیین حدود است. داده های ژئوفیزیکی مورد استناد تحقیق نیز از داده های پردازش شده پروژه ژئوفیزیک هوایرد ایران از پایگاه ملی داده های علوم زمین کشور⁴ گرفته شده است که نقشه های خروجی و رنگی این پروژه برای تفسیر ساختارهای ناحیه ای، محصول پردازش ترازهای میدان مغناطیسی برگردان به قطب (Pole Reduce) می باشد. مشاهدات سنجش از دور و مطالعات زمین شناسی به طور عام در تعیین مقر و شناسایی ساختارهای برخوردي از اهمیت زیادی برخوردار هستند. با این حال ارزیابی جامع و منحصر به فردی را از یک ساختار برخوردي ارائه نمی دهند از این رو انجام برداشت های میدانی، مشاهدات ژئومورفولوژیکی و نمونه برداری امری ضروری خواهد بود. لذا در گام دوم، بایستی وجود اثرات ناشی از امواج برخورد را در واحدهای سنگی لبه گودال، برجستگی مرکزی در مورفولوژی گودال، لایه های مواد مذاب و برشیا در درون گودال، سنگ های پرتایی و آواری در پیرامون گودال و نیز کشف تکه هایی احتمالی از شهاب سنگ اولیه را تأیید کند. معمولاً سیمای ظاهری یک گودال برخوردي در اثربخشی از فرایندهای ژئومورفولوژیکی همچون هوازدگی، فرسایش و رسوب گذاری، دگرگونی (متامورفیسم) و فعلیتهای تکتونیکی و کوهزایی (ولکانیسم) تغییر پیدا کرده ووضوح خود را از دست میدهدند. لذا در گام سوم باید اثرات ژئوشیمیایی در بقایای احتمالی یک برخورد به انجام برسد. در این مرحله شواهد پتروگرافی و ژئوشیمیایی نمونه های جمع آوری شده از گودال بر مبنای آزمایش هایی همچون XRF ضرورت پیدا میکند. در تحقیق حاضر برداشت های میدانی در طی چند روز از تابستان سال ۲۰۱۱ در پیرامون گودال تا مرکز برآمده آن به انجام رسید و چندین نمونه از سنگ های مظنون به داشتن شواهد برخورد، جمع آوری گردید و در نهایت آزمایش XRF بر روی یکی از آنها انجام شد.

بحث و یافته ها

بررسی های سنجش از دور

تحلیلهای فضایی ساختار مورد مطالعه بر مبنای نقشه رقومی ارتفاعی (DEM) و در نرم افزار Arc-GIS نشان داد که مورفولوژی گودالی شکل ساختار مورد مطالعه به طور کامل و با اختلاف ارتفاع مشخصی، مشهود است (شکل ۳). استخراج پروفیل های توپوگرافیکی از DEM علاوه بر تأیید تغییرات ارتفاعی حدوداً چهل متری، نشان داد که در

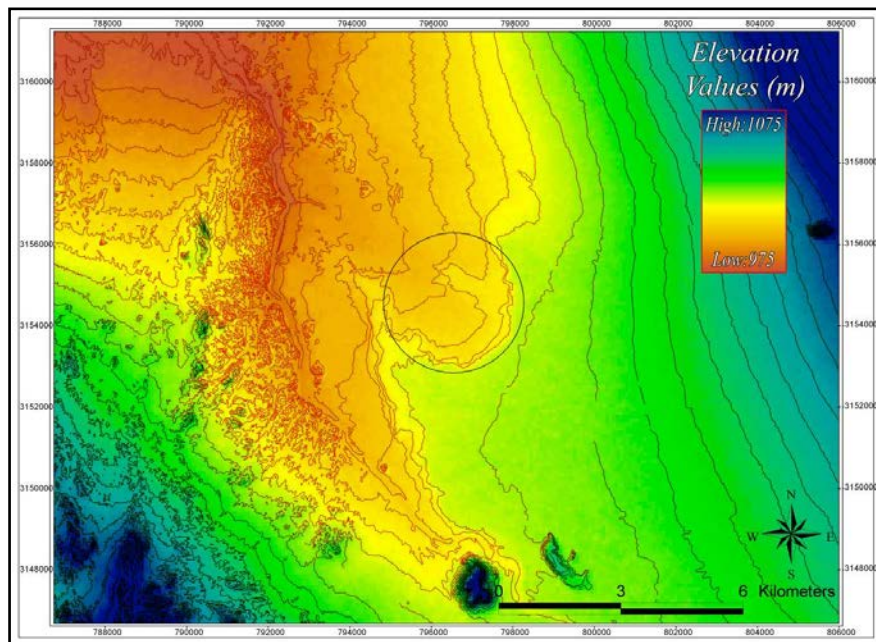
1-Moderate Resolution Imaging Spectroradiometer (MODIS)

2-Digital Elevation Model (DEM)

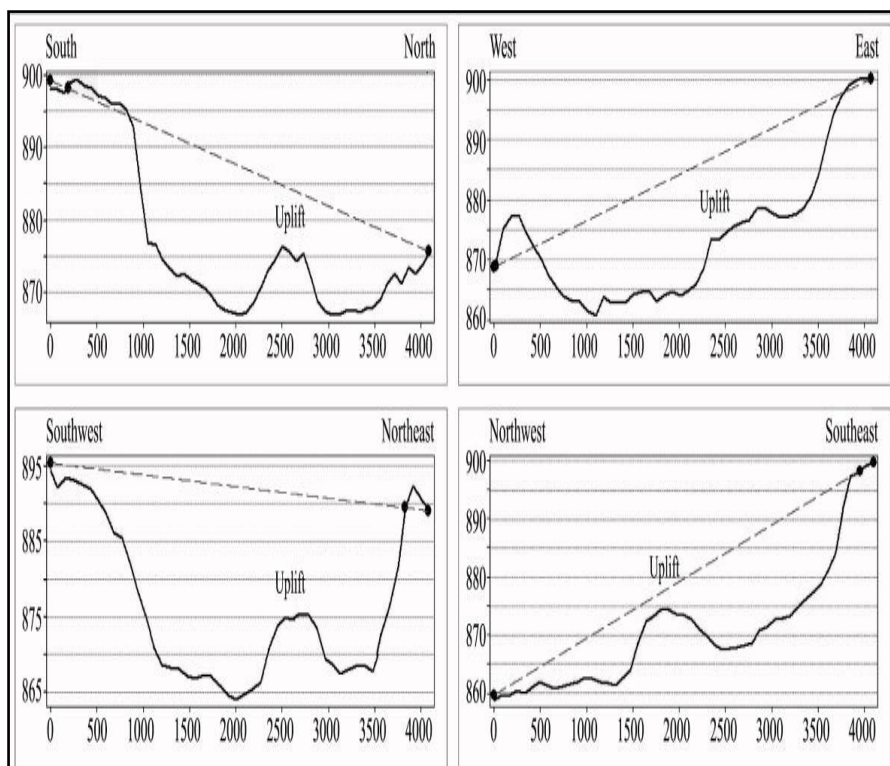
3-Shuttle Radar Topography Mission (SRTM)

4-<http://www.ngdir.ir/Geomatics/PGeophysics.asp>

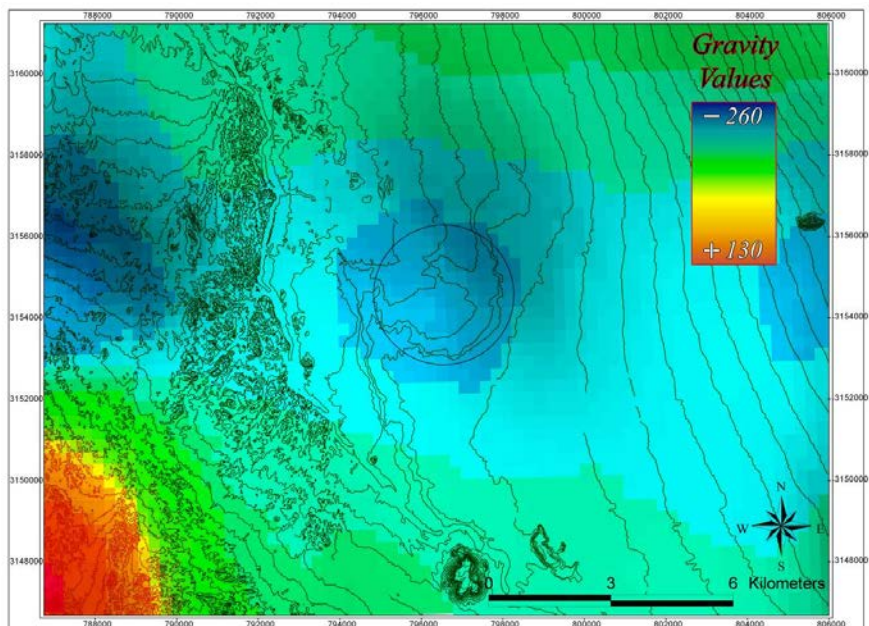
چهار جهت مختلف، ساختار گودالی شکل با لبه های برآمده و برجستگی مرکزی قابل تشخیص است (شکل ۴). تا این مرحله وجود یک گودال مشابه با سازوکار تصادمی قابل تأیید است. در ادامه ارزیابی ژئوفیزیکی گودال به انجام رسید که بر مبنای داده های ژئوفیزیک هوابرد وجود یک ساختار دایره ای شکل آشکار شد به طوری که بی هنجاری گرانشی منفی به میزان حدوداً ۱۳۵ - ۱۶۵ میلی گال به شکل مت مرکز بر روی این ساختار مشاهده می شود (شکل ۵). این موضوع یکی از شواهد ارزشمند در ارزیابی گودال های برخوردی به شمار می رود اما در ادامه ای بررسیهای سنجش از دور گودال زیروکی، مطالعات ساختاری و زمین شناسی آن باید به انجام برسد تا ثابت کند ارتباطی با دیگر فرآیندهای زمینی و یا فرآیندهای درونی زمین ندارد (Howard and Haines, 2007). بر پایه ای نقشه های زمین شناسی، آتشفسان نیمه فعال بزمان در پنجاه کیلومتری جنوب این ساختار قرار دارد. لاوهای آتشفسانی ناشی از عملکرد بزمان، بخش های گسترده ای از غرب منطقه را پوشانده است، این در حالی است که ساختار مطالعاتی ما با پوشش رسوبات حجیم آبرفتی و سیمای ظاهری خود شباهتی به یک ساختار آتشفسانی ندارد. از طرفی لبه های این ساختار به شکل برآمدگی پادگانه های آبرفتی شکل گرفته و درون آن نیز شامل نهشته های آبرفتی است (شکل ۶). بی هنجاری گرانشی منفی و دایره ای شکل نیز این توضیحات را تأیید می کند و دلیلی بر وجود رسوبات با چگالی کم در درون ساختار می باشد.



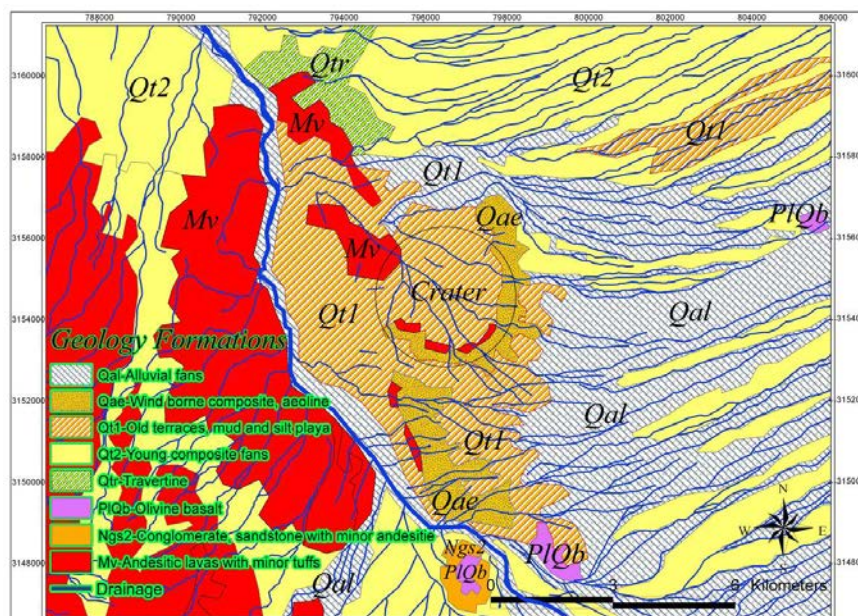
شکل ۳: نقشه توپوگرافی محدوده مطالعاتی



شکل ۴: پروفیل های توپوگرافی از گودال زبروکی (واحدها به متر)



شکل ۵: نقشه ژئوفیزیک هوابرد محدوده مطالعاتی؛ محصول پردازش ترازهای میدان مغناطیسی برگردان به قطب



شکل ۶: نقشه زمین شناسی مقیاس ۱:۱۰۰۰۰۰ محدوده مطالعاتی

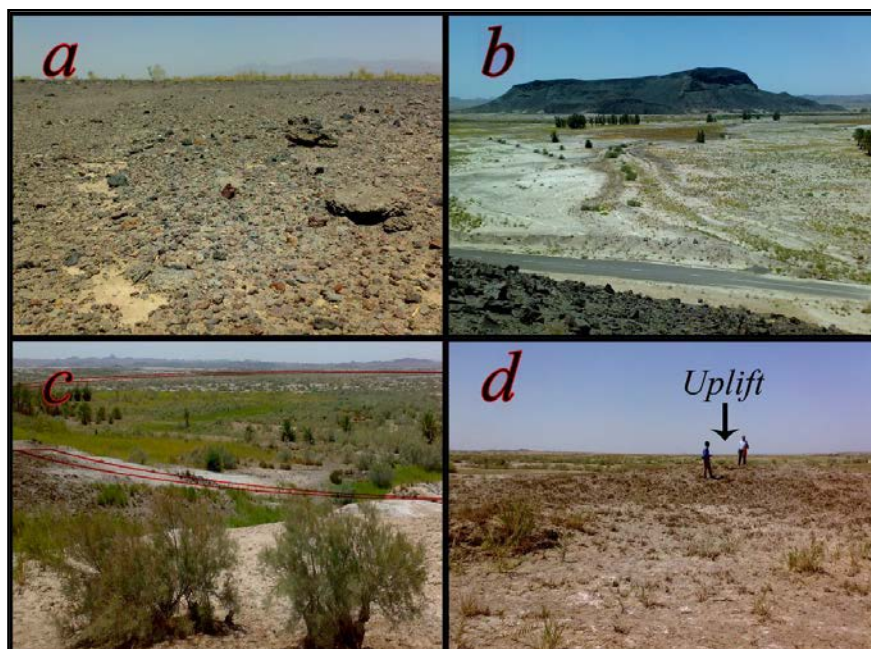
بر مبنای نقشه زمین شناسی و ژئوفیزیک محدوده مطالعاتی، این گودال نمی تواند نشان دهنده یک پدیده آذرینی از قبیل یک دهانه انفجاری آتشفسانی (Caldera) و یا مار (Maar) باشد، چرا که ساختارهای آتشفسانی یاد شده دارای ریشه عمیق آذرینی با چگالی بالا می باشند (Grieve, 2006). همچنین این ساختار گودالی شکل، وابسته به گنبدهای نمکی نیز نمیباشد، چرا که شکل مقرر گودال بدون یک هسته نمکی نمایان شده است و جریان شعاعی چشمeh های لبه گودال نیز نمی تواند نشان دهنده فرسایش هسته مرکزی گودال باشد. از طرفی ژئومورفولوژی گودال یک ساختار ناشی از فرونشست زمین یا فرآیندهای کارستی نمی باشد. اگرچه در شمال گودال یک سپر تراوترنی دیده می شود، اما فرآیند کارستی دایره ای شکل مثل دولین و پولزه فقط بر روی سنگ های کربناته با درجهی خلوص بالاتر از ۹۵٪ رخ می دهد (Blair, 1986) که در مورد محدوده مطالعاتی صادق نیست.

برداشت میدانی و نمونه برداری

ابتدا محیط بیرونی گودال از یک فاصله حدوداً ده کیلومتری در جایی که دشت ریگی و لاوهای آتشفسانی در پیرامون لبه خارجی شکل گرفته بود، مورد بررسی قرار گرفت. این پهنه های ریگ دار از سنگ های شکسته شده پوشیده شده اند(شکل a). به فاصله شش کیلومتری در جنوب گودال، توده های منفرد و تخت شده ای پدید آمده اند که به نظر می رسد بقایایی از دایک آذرینی (Dyke) باشد (شکل b). وجود توده های آذرینی مثل بقایای دایک در کنار ساختارهای برخوردي معمول است (Jones et al, 2002). در منطقه مورد مطالعه ای این توده ها، با سنگ های بازالتی اولیوین دار شکسته و خردشده مربوط به پلیسیستوسن پوشیده شده اند. در دوردست تر، نواحی

مرتفع شامل لاوهای آتشفسانی به سن میوسن (قدیمی تر از پلئیستوسن) وجود دارند که اثرات فرسایشی ناچیزی را نشان می دهند. این اراضی مرتفع دارای قلل تیز و پرشیب می باشند، در حالی که تپه های شبه دایک پیش گفته در جنوب گودال از شکل تخت و هموار شده ای برخوردار هستند. این ویژگی منحصر به فرد ژئومورفولوژیک در پیرامون گودال می تواند بیانگر برخورد امواج حاصل از یک شوک قوی باشد (French and Koeberl, 2010) (بر طبق مشاهدات میدانی محیط درونی گودال نیز به خوبی نشان دهنده ای یک فرم دایره ای شکل بود که مملو از رسوبات حجیم با توده های گیاهی نسبتاً متراکم میباشد (شکل ۷-۲). بخش مرکزی گودال نمایانگر یک اختلاف ارتفاع جزئی است که ممکن است مرتبط با بالآمدگی مرکزی (Uplift) در یک ساختار برخوردار باشد (شکل ۷-۴). اگر چه در این بخش شواهدی دال بر سنگهای جای گرفته در عمق با چگالی زیاد، که از شواهد قطعی برخورد است، پیدا نشد، اما اختلاف ارتفاع معنی دار ۱۰-۱۵ متری به وسیله دستگاه GPS دستی^۱ از مرز فرون昕سته لبه تا مرکز بالآمده گودال اندازه گیری شد که می تواند مورد توجه باشد. این یافته ها توسط داده های پروفیل توپوگرافی DEM در شکل (۴) هم کنترل و تأیید شد. مشاهده یک چاه اکتشافی به عمق دو متری در نزدیکی این برآمدگی نشان دهنده وجود انبوهی از نهشته های آبرفتی آهن دار- نمک دار بود، لذا ما آثار برخوردار خاصی چون برشیا و یا مواد مذاب در این چاه پیدا نکردیم. البته در مجاورت لبه تخریب شده جنوبغربی گودال، نمونه های چندی از سنگهای کوچک احتمالاً ذوب شده با سطح آهنهای جمع آوری گردید که در ادامه برای پتروگرافی استفاده گردید. همچنین در لبه های درونی گودال زیروکی چندین چشممه ای آب شور منحصر به فرد پدیدار شده اند که جریان های باریک شعاعی جانب به مرکز را با پوشش گیاهی نیمه متراکم و خطی شکل داده اند. با توجه به توپوگرافی گودالی شکل و نگهداشت رطوبتی بالای آن گونه های زیستی متراکم و متنوع شوری پسند در میان آن پدید آمده است که منجر به کنام سازی برخی گونه های جانوری در دل دشت ریگی و نمکی سمسور شده است. وجود چشممه های آب شور متعدد در لبه های گودال نیز باعث شده تا در طول فصل مرطوب گودال به شکل تالاب فصلی در میان شرایط اقلیمی خشک نمایان شود و اکوسیستم خاصی را ایجاد کند. تشکیلات این چشممه های آب شور، چندین شکستگی و میکرو گسل احتمالی را در لبه گودال مدفون ساخته اند. بنابراین با توجه به ساختارهای مدفون شده ناشی از رسوبات تالاب فصلی، یافتن مخروط های شکسته (Shatter Cone) از شواهد ژئومورفولوژیک برخورد هم میسر نشد.

۱- دستگاه GPS دستی مورد استفاده از شرکت Garmin و مدل Vista eTrex، با آتن داخلى و دارای خطای موقعیت سه متر و خطای سرعت ۱۰/۰ متر بر ثانیه بود.



شکل ۷: تصاویری از بیرون و درون گودال زبروکی (a) دشت ریگی پیرامون گودال (b) توده آذرینی در جنوب گودال (c) سیمای فیزیکی درون گودال (d) بر جستگی مرکزی گودال

در نهایت شش نمونه از سنگ های درون و بیرون گودال جمع آوری گردید و برای انجام مطالعات دقیق سنگ شناسی (پترولوزی) چندین مقطع نازک زمین شناسی از نمونه های جمع آوری شده در گودال، تهیه شد. به طور مقدماتی نمونه های ما شامل سنگ های آذرین (آنذیتی) با بافت پورفیری و کانی های پلاژیوکلاز-پیروکسین و گاه اولیوین و فتوکریست بودند و سوتگی در پیرامون هورنبلندهای برخی از مقاطع میتواند ناشی از یک گرمای ناگهانی باشد. حدود ۳۰-۳۵ درصد مقاطع نمونهها دارای سیلیکا میباشد. سیلیکا به میزان زیادی در نهشته های آواری گودالهای برخورده یافت می شود (Reimold et al, 2005). ارزیابی XRF بر روی یکی از نمونه های به دست آمده از لبه تخریب شده جنوبغربی گودال متمرکز شد جایی که شکستگی و میکروگسل های احتمالی متعدد امکان یافتن نمونه ای با بیشترین شواهد برخورد را فراهم می کرد (Senft and Stewart, 2009). آزمایش نشان داد نمونه مورد نظر ما دارای اجزای سیلیکات SiO_2 ، اکسید آلومینیوم Al_2O_3 ، آهک CaO و اکسید آهن Fe_2O_3 حدوداً ۵۰٪ میزان آهنه، ۱۰٪ TiO_2 و ۹٪ درصد می باشد که در این میان میزان سیلیکات قابل قبول و میزان اکسیدهای اصلی آلومینیوم و آهن نیز معنی دار است (جدول (۱)). مقدار ۱۰٪ مربوط به آهک نیز می تواند مربوط به فرآیندهای تبلور و دگرگونی به وقوع پیوسته باشد. نتایج پترولوزی انجام شده نشان دهنده سنگی وابسته به سنگ های بازالتی - آندزیتی غنی از اکسید تیتانیوم TiO_2 (از اجزای کمیاب زمینی) است. همچنین نتایج آزمایش XRF نشان دهنده - وجود عناصر کمیاب گروه سیدروفیل شامل نیکل Ni ، کбалت Co و کروم Cr نیز میباشد (جدول (۲)).

جدول ۱: ترکیب شیمیایی نمونه انتخاب شده در آزمایش XRF

Composition	SiO ₂	TiO ₂	Al ₂ O ₃	Fe ₂ O ₃	MnO	MgO
Value (%)	50.13	1.02	15.13	8.69	0.14	5.03
Composition	CaO	Na ₂ O	K ₂ O	P ₂ O ₅	SO ₃	LOI
Value (%)	9.86	3.59	0.68	0.22	3.71	1.79

جدول ۲: مقادیر عناصر به دست آمده از نمونه انتخاب شده در آزمایش XRF

Element	V	Cr	Co	Ni	Cu	Zn
Value (ppm)	434	572	173	277	175	233
Element	Rb	Sr	Y	Zr	Nb	Ba
Value (ppm)	17	3055	30	301	24	327
Element	Ce	W	Pb	Th	U	Cl
Value (ppm)	51	4	63	2	N	1058

محتوای مقادیر مربوط به گروه سیدروفیل در نمونه‌ی ما شباهت خوبی با نمونه سنگ‌های مربوط به گودالهای برخوردی تأیید شده مثل لایپاچاروی (Lappajärvi) در فنلاند و بوسومتوی (Bosumtwi) در غنا دارد (Koeberl *et al.*, 2007). برای مثال غلظت کروم در این نمونه به میزان ۵۷۲ پی پی ام با مقادیر غلظت در نمونه‌های برخوردی که بین ۶ تا ۷۰۰ پی پی ام در نوسان است همخوانی دارد (Reimold and Gibson, 2006). همه‌ی شواهد ژئومورفولوژیکی، توپوگرافیکی، ژئوفیزیکی، زمین‌شناسی و سنگ‌شناسی رویارویی ما با یک گودال برخوردی احتمالی را امکان پذیر ساخته است با این حال نتایج به دست آمده امکان تأیید قطعی برخوردی بودن گودال را مشروط به بررسی‌ها و یافتن نمونه‌های جدیدتر می‌سازد که در آینده پیگیری خواهند شد.

نتیجه

مورفولوژی گودالی شکل ساختار مورد مطالعه به طور کامل و با اختلاف ارتفاع مشخصی، مشهود است. علاوه بر این استخراج پروفیل‌های توپوگرافیکی از DEM نشان داد که در چهار جهت مختلف، علاوه بر ساختار گودالی شکل با لبه‌های برآمده، برجستگی مرکزی نیز به وضوح دیده می‌شود. داده‌های ژئوفیزیک هوابرد نیز وجود یک ساختار دایره‌ای شکل با بی‌هنجری گرانشی منفی را به شکل متمرکز بر روی این ساختار نشان داد که این موضوع خود یکی از شواهد ارزشمند در ارزیابی گودال‌های برخوردی به شمار می‌رود. این گودال با پوشش رسوبات حجمی آبرفتی و سیمایی ظاهری خود شباهتی به یک ساختار آتشفسانی ندارد و با توجه به شرایط زمین‌شناسی آن و قرارگیری نهشته‌های آبرفتی بر روی زمینه‌ی پلئیستوسن-میوسن می‌توان گفت که سن زمین‌شناسی این پدیده در مقایسه با سایر گودالهای مشابه مثل بارینگر در آمریکا (Masaitis, 2006) در حدود دوره کواترنر قابل تخمین است. نتایج پترولولوژی انجام شده نشان دهنده‌ی سنگی وابسته به سنگ‌های بازالتی-آندرزیتی غنی از اکسید تیتانیوم (از اجزای کمیاب زمینی) است که دارای مقادیر معنی داری از اجزای سیلیکات، اکسید آلومینیوم، کربنات و TiO₂

اکسید آهن می باشد. همچنین نتایج آزمایش XRF نشان دهندهی وجود عناصر کمیاب گروه سیدروفیل شامل نیکل Ni، کبالت Co و کروم Cr نیز می باشد. همه‌ی شواهد به دست آمده نشان دهنده ی رویارویی ما با یک گودال برخوردي احتمالي است، لذا امروز می توان گفت که اين منطقه اولين گودال احتمالي حاصل از برخورد شهاب سنگ در ايران است و از اين رو ارزش علمي و حفاظت محیط زیستی دارد. برداشت هاي ميداني هم علاوه بر ابعاد زمين شناسی، ارزش اکولوژيکی گودال را نشان می داد که گونه هاي زیستی متراکم و متنوع شوري پسند، وجود چشمهاي آب شور متعدد در لبه هاي گودال و شكل گيري تالاب فصلی در محل گودال بخشی از آن بود. اميد ما بر اين است تا اثرات تحقیقات بیشتر در این منطقه منجر به شکل گيري زمینه‌ی جدید علمی در استان و بسط توسعه ی پایدار امنیتی و اقتصادی و زیست محیطی آن گردد. باید اذعان داشت که استان سیستان و بلوچستان به دلیل وجود انواع آثار آتشفسانی، گلفشان ها، چشمهاي گسلی و اینك اولين اثر احتمالي برخورد شهابسنگی ایران، يکی از بزرگترین سایت های ژئوتوریسم و ژئومورفوتوریسم کشور به شمار می آید.

منابع

- 1- Baratoux, D., Reimold, W.U., ChennaouiAoudjehane, H (2012). The Second Arab Impact Cratering and Astrogeology Conference, Casablanca, 14–20 November 2011–A bridge between geoscientists and astronomers. *Meteoritics and Planetary Science* 47(6), 1098–1103.
- 2- Blair, R.W.Jr(1986). Karst landforms and lakes. In: Short, N.M.Sr., Blair, R.W.Jr., (eds.), *Geomorphology from space: A global overview of regional landforms*, NASA Special Publication, SP-486, Washington DC. pp 402-446.
- 3- French, B.M(1998). Traces of catastrophe: a handbook of shock–metamorphic effects in terrestrial meteorite impact craters. Lunar and Planetary Institute, Houston. Contribution CB–954, pp. 120.
- 4- French, B.M., Koeberl, C(2010). The convincing identification of terrestrial meteorite impact structures: What works, what doesn't, and why. *Earth Science Reviews* 98(1–2), 123–170.
- 5- Grieve, R.A.F(2006) Impact structures in Canada. *Geotext*, vol. 5. Geological Association of Canada. pp 210.
- 6- Grieve, R.A.F., Langenhorst, F., Stöffler, D(1996). Shock metamorphism of quartz in nature and experiment: II. Significance in geoscience. *Meteoritics and Planetary Science* 31, 6–35.
- 7- Gojković, S(1973). The Qal'ehHasan Ali cryptoexplosion structures. *Geol. Surv. Iran. Rep. No. Yu/52*.
- 8- Hijmans, R.J., Cameron, S.E., Parra, J.L., Jones, P.G., Jarvis, A(2005). Very High Resolution Interpolated Climate Surfaces for Global Land Areas. *International Journal of Climatology* 25(15), 1965–1978.
- 9- Holm, D.A(1962). New meteorite localities in the Rub'al Khali, Saudi Arabia. *American Journal of Science* 260(4), 303–309.
- 10-Howard, K.T., Haines, P.W(2007). The geology of Darwin crater, western Tasmania, Australia. *Earth and Planetary Science Letters* 260(1–2), 328–339.
- 11-Jones, A.P., Price, G.D., Price, N.J., DeCarli, P.S., Clegg, R.A(2002). Impact induced melting and the development of large igneous provinces. *Earth and Planetary Science Letters* 202(3–4), 551–561.
- 12-Koeberl, C (2002). Mineralogical and geochemical aspects of impact craters. *Mineralogical Magazine* 66(5), 745–768.
- 13-Koeberl, C(2004). Remote sensing of impact craters: how to be sure? *ComptesRendus Geosciences* 336(11), 959–961.
- 14-Koeberl, C., Shukolyukov, A., Lugmair, G.W(2007). Chromium isotopic studies of terrestrial impact craters: Identification of meteoritic components at Bosumtwi, Clearwater East, Lappajärvi, and Rochechouart. *Earth and Planetary Science Letters* 256(3–4), 534–546.
- 15-Langenhorst, F(2002). Shock metamorphism of some minerals: basic introduction and microstructural observations. *Bulletin of the Czech Geological Survey* 77(4), 265–282.
- 16-MansouriDaneshvar, M.R., Bagherzadeh, Ali (2011). Investigation of possible evidence for an impact structure(Zirouki crater) in Samsour desert,SE Iran. Proceedings of Second Arab Impact Cratering and Astrogeology Conference, Casablanca, Morocco. pp 62–63.
- 17-MansouriDaneshvar, M.R., Bagherzadeh, A (2013). Geomorphological investigation of possible impact evidences for the crater-shaped structure of Zirouki in Samsour Desert, SE Iran. *Earth Science Informatics* 6(4), 241–252.
- 18-Masaitis, V.L(2006). Review of the Barringer crater studies and views on the crater's origin. *Solar System Research* 40(6), 500–512
- 19-McCall, G.J.H (2009). Half a century of progress in research on terrestrial impact structures: A review. *Earth Science Reviews* 92(3–4), 99–116.

- 20-Milton, D.J (1976). Qal'ehhasanali maars, central Iran. *Bulletin of Volcanology* 40(3), 201–208.
- 21-Osinski, G.R(2007). Impact metamorphism of CaCO₃-bearing sandstones at the Haughton structure, Canada. *Meteoritics and Planetary Science* 42(11), 1945–1960.
- 22-Pati, J.K., Reimold, W.U(2007). Impact cratering—fundamental process in geosciences and planetary science. *Journal of Earth System Science* 116(2), 81–89.
- 23-Reimold, W.U., Koeberl, C., Gibson, R.L., Dressler, B.O(2005). Economic Mineral Deposits in Impact Structures: A Review. In: Koeberl, C., Henkel, D.H., (eds.), *Impact Tectonics*, Springer, Heidelberg. pp 479–552.
- 24-Reimold, W.U., Gibson, R.L(2006). The melt rocks of the Vredefort impact structure—Vredefort Granophyre and pseudotachyliticbreccias: Implications for impact cratering and the evolution of the Witwatersrand Basin. *Chemie der Erde—Geochemistry* 66, 1–35.
- 25-Salameh, E., Khoury, H., Schneider, W(2006). Jebel Waqf as Suwwan, Jordan: a possible impact crater—a first approach. *Zeitschrift der DeutschenGeologischenGesellschaft* 157(3), 319–325.
- 26-Senft, L.E., Stewart, S.T (2009). Dynamic fault weakening and the formation of large impact craters. *Earth and Planetary Science Letters* 287(3–4), 471–482.
- 27-Skrine, C.P (1931). The highlands of Persian Baluchistan. *The Geographical Journal [London]*. 78(4), 321–338.
- 28-Spencer, L.J(1933). Meteorite craters as topographical features on the earth's Surface. *The Geographical Journal [London]*. 81(3), 227–248.
- 29-Williams, G.E., Gostin, V.A(2010). Geomorphology of the Acraman impact structure, Gawler Ranges, South Australia. *Cadernos do Laboratorioxolóxico de Laxe* 35, 209–220.